

01;07

## **Устойчивый метод расчета слоистых диэлектрических и металлодиэлектрических структур с круглым поперечным сечением**

© А.Г. Рожнев

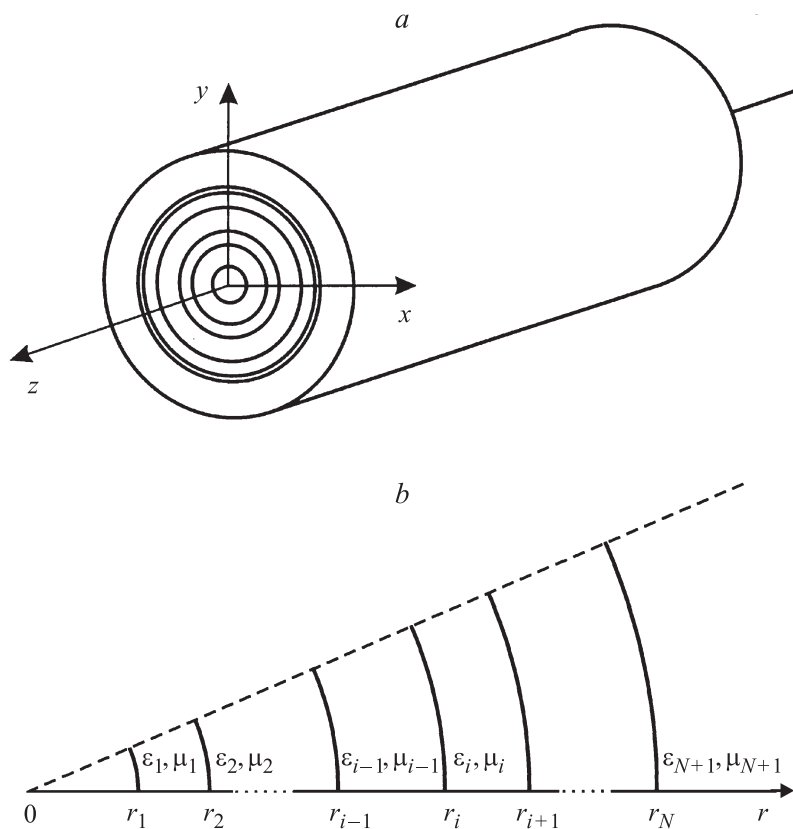
Саратовский государственный университет им. Н.Г. Чернышевского  
E-mail: RozhnevAG@gmail.com

*В окончательной редакции 22 сентября 2008 г.*

Предложен новый метод расчета собственных и вытекающих мод слоистых диэлектрических и металлодиэлектрических волноведущих структур с азимутальной симметрией, обобщающий подход, развитый в работе [1] для анализа плоскостойких структур. Методика демонстрирует численную устойчивость при расчете систем, в которых происходит туннелирование или затухание (неустойчивость) волн в радиальном направлении. Возможности метода демонстрируются на примерах расчета брэгговских оптических волокон различного типа.

PACS: 42.81.Et, 84.40.Az, 42.70.Qs

Круглые слоистые диэлектрические и металлодиэлектрические структуры применяются в электродинамике в широком диапазоне длин волн, от сантиметрового до субмиллиметрового [2–5]. В оптике значительный интерес проявляется в последнее время к брэгговским волокнам (БВ) [6–8], обладающим рядом уникальных свойств. Для расчета таких систем обычно используется метод матрицы передачи (ММП), отличающийся простотой и высокой точностью [2,6,9]. К сожалению, ММП оказывается численно неустойчивым, если в некоторых слоях поперечное волновое число является комплексным, что соответствует туннелированию волн через слой в радиальном направлении, сильным потерям в слое или неустойчивости. В таком случае матрица передачи может стать почти вырожденной, что приводит к накоплению численных ошибок. Известные алгоритмы подавления неустойчивости [10,11] приводят либо к существенному усложнению методики, либо неприме-



**Рис. 1.** Геометрия круглого слоистого диэлектрического волновода: *a* — общий вид; *b* — принятые обозначения для геометрических и материальных параметров структуры.

нимы к анализу азимутально-симметричных структур из-за гибридного, в общем случае, характера собственных волн.

В работе [1] был предложен альтернативный подход к анализу планарных слоистых структур, который лишен указанных недостатков. В настоящем сообщении эта методика обобщается на случай слоистых водноводов с круглым поперечным сечением.

Для определенности рассматриваем открытую систему, в которой имеется  $N + 1$  слой и  $N$  границ между слоями, причем  $r_{N+1} = \infty$  (рис. 1). Решение для компонент поля ищем в виде  $E_{r,z} = E_{r,z}(r) \sin(m\varphi + \varphi_0)$ ,  $E_\varphi = E_\varphi(r) \cos(m\varphi + \varphi_0)$ ,  $H_{r,z} = Z_0^{-1} \times \times F_{r,z}(r) \cos(m\varphi + \varphi_0)$ ,  $H_\varphi = Z_0^{-1} F_\varphi(r) \sin(m\varphi + \varphi_0)$ . Здесь принята зависимость всех величин от времени и продольной координаты в форме  $\exp[j(\omega t - \beta z)]$ ,  $\beta$  — продольное волновое число,  $m$  — азимутальный индекс,  $Z_0 = \sqrt{\mu_0/\varepsilon_0}$ ,  $\varepsilon_0$  и  $\mu_0$  — электрическая и магнитная постоянные, угол  $\varphi_0$  определяет поляризацию моды. Азимутальные компоненты полей в каждом слое выражаются через продольные:

$$E_\varphi(r) = \frac{jk}{\kappa_i^2} \left( \frac{-mn_{ef}F_z(r)}{r} + \mu_i \frac{\partial E_z(r)}{\partial r} \right),$$

$$F_\varphi(r) = \frac{-jk}{\kappa_i^2} \left( \frac{-mn_{ef}E_z(r)}{r} + \varepsilon_i \frac{\partial F_z(r)}{\partial r} \right), \quad (1)$$

где  $\varepsilon_i, \mu_i$  — относительные диэлектрическая и магнитная проницаемости  $i$ -го слоя,  $\kappa_i = \sqrt{\beta^2 - \varepsilon_i \mu_i k^2}$  — поперечное волновое число в слое,  $k = \omega/c$ ,  $n_{ef} = \beta/k$  — эффективный показатель преломления. Рассмотрим границу между слоями с номерами  $i$  и  $i + 1$ , причем пока будем считать, что  $i \neq 1, N$ . В  $i$ -м слое  $z$ -компоненты полей представим в виде

$$E_z(r) = \frac{e_{i-1}W(\kappa_i r, \kappa_i r_i) - e_i W(\kappa_i r, \kappa_i r_{i-1})}{W(\kappa_i r_{i-1}, \kappa_i r_i)},$$

$$F_z(r) = \frac{f_{i-1}W(\kappa_i r, \kappa_i r_i) - f_i W(\kappa_i r, \kappa_i r_{i-1})}{W(\kappa_i r_{i-1}, \kappa_i r_i)}. \quad (2)$$

Здесь  $W(x, y) = J_m(x)Y_m(y) - J_m(y)Y_m(x)$ ,  $J_m(x)$  и  $Y_m(x)$  — функции Бесселя и Неймана,  $e_i, f_i$  — значения продольных компонент электрического и магнитного полей на  $i$ -й границе. Подставим эти соотношения в (1), вычислим азимутальные компоненты магнитного и электрического полей в  $i$ -м и  $i + 1$ -м слоях, приравняем их на границе между слоями и после небольших преобразований получим два линейных однородных

уравнения, связывающих величины  $e_{i-1}, f_{i-1}, e_i, f_i, e_{i+1}, f_{i+1}$ :

$$\begin{aligned}
& \frac{2\varepsilon_i}{\pi r_i \kappa_i^2 W(\kappa_i r_i, \kappa_i r_{i-1})} e_{i-1} + \left( \frac{\varepsilon_i W'(\kappa_i r_{i-1}, \kappa_i r_i)}{\kappa_i W(\kappa_i r_i, \kappa_i r_{i-1})} \right. \\
& \left. + \frac{\varepsilon_{i+1} W'(\kappa_{i+1} r_{i+1}, \kappa_{i+1} r_i)}{\kappa_{i+1} W(\kappa_{i+1} r_{i+1}, \kappa_{i+1} r_i)} \right) e_i + \frac{mn_{ef}}{r_i} \left( \frac{1}{\kappa_{i+1}^2} - \frac{1}{\kappa_i^2} \right) f_i \\
& + \frac{2\varepsilon_{i+1}}{\pi r_i \kappa_{i+1}^2 W(\kappa_{i+1} r_{i+1}, \kappa_{i+1} r_i)} e_{i+1} = 0, \\
& \frac{2\mu_i}{\pi r_i \kappa_i^2 W(\kappa_i r_i, \kappa_i r_{i-1})} f_{i-1} + \frac{mn_{ef}}{r_i} \left( \frac{1}{\kappa_{i+1}^2} - \frac{1}{\kappa_i^2} \right) e_i \\
& + \left( \frac{\mu_i W'(\kappa_i r_{i-1}, \kappa_i r_i)}{\kappa_i W(\kappa_i r_i, \kappa_i r_{i-1})} + \frac{\mu_{i+1} W'(\kappa_{i+1} r_{i+1}, \kappa_{i+1} r_i)}{\kappa_{i+1} W(\kappa_{i+1} r_{i+1}, \kappa_{i+1} r_i)} \right) f_i \\
& + \frac{2\mu_{i+1}}{\pi r_i \kappa_{i+1}^2 W(\kappa_{i+1} r_{i+1}, \kappa_{i+1} r_i)} f_{i+1} = 0. \tag{3}
\end{aligned}$$

Штрих означает производную по первому аргументу функции  $W(x, y)$ .

Первая и последняя границы требуют отдельного рассмотрения. В первом слое вместо выражений (2) следует использовать формулы  $E_z(r) = e_1 J_m(\kappa_1 r) / J_m(\kappa_1 r_1)$  и  $F_z(r) = f_1 J_m(\kappa_1 r) / J_m(\kappa_1 r_1)$ . При этом вместо формул (3) для первой границы получаем

$$\begin{aligned}
& \left( \frac{\varepsilon_1 J'_m(\kappa_1 r_1)}{\kappa_1 J_m(\kappa_1 r_1)} + \frac{\varepsilon_2 W'(\kappa_2 r_2, \kappa_2 r_1)}{\kappa_2 W(\kappa_2 r_2, \kappa_2 r_1)} \right) e_i + \frac{mn_{ef}}{r_1} \left( \frac{1}{\kappa_2^2} - \frac{1}{\kappa_1^2} \right) f_1 \\
& + \frac{2\varepsilon_2}{\pi r_1 \kappa_2^2 W(\kappa_2 r_2, \kappa_2 r_1)} e_2 = 0, \\
& \frac{mn_{ef}}{r_1} \left( \frac{1}{\kappa_2^2} - \frac{1}{\kappa_1^2} \right) e_1 + \left( \frac{\mu_1 J'_m(\kappa_1 r_1)}{\kappa_1 J_m(\kappa_1 r_1)} + \frac{\mu_2 W'(\kappa_2 r_2, \kappa_2 r_1)}{\kappa_2 W(\kappa_2 r_2, \kappa_2 r_1)} \right) f_1 \\
& + \frac{2\mu_2}{\pi r_1 \kappa_2^2 W(\kappa_2 r_2, \kappa_2 r_1)} f_2 = 0. \tag{4}
\end{aligned}$$

В оболочке волновода в случае открытой структуры  $E_z(r), F_z(r) \sim \sim H_m^{(2)}(\kappa_{N+1} r), H_m^{(2)}(x)$  — функция Ганкеля второго рода, поэтому для

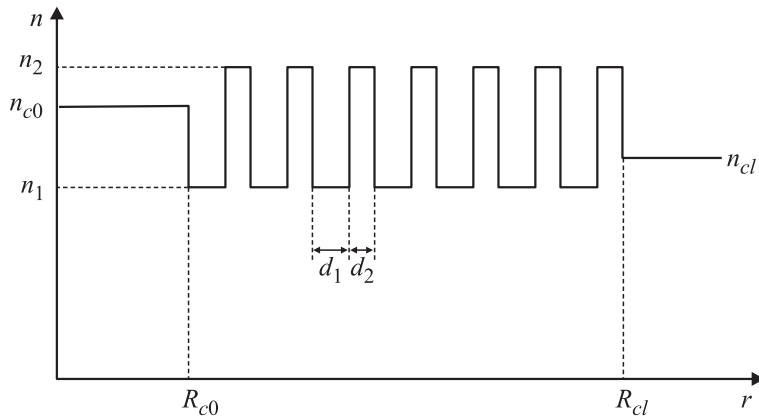
внешней границы подобная процедура приводит к соотношениям

$$\begin{aligned} & \frac{2\varepsilon_N}{\pi r_N \kappa_N^2 W(\kappa_N r_N, \kappa_N r_{N-1})} e_{N-1} + \left( \frac{\varepsilon_N W'(\kappa_N r_{N-1}, \kappa_N r_N)}{\kappa_N W(\kappa_N r_N, \kappa_N r_{N-1})} \right. \\ & \quad \left. + \frac{\varepsilon_{N+1} H_m^{(2)'}(\kappa_{N+1} r_N)}{\kappa_{N+1} H_m^{(2)}(\kappa_{N+1} r_N)} \right) e_N + \frac{m n_{ef}}{r_N} \left( \frac{1}{\kappa_{N+1}^2} - \frac{1}{\kappa_N^2} \right) f_N = 0, \\ & \frac{2\mu_N}{\pi r_N \kappa_N^2 W(\kappa_N r_N, \kappa_N r_{N-1})} f_{N-1} + \frac{m n_{ef}}{r_N} \left( \frac{1}{\kappa_{N+1}^2} - \frac{1}{\kappa_N^2} \right) e_N \\ & \quad + \left( \frac{\mu_N W'(\kappa_N r_{N-1}, \kappa_N r_N)}{\kappa_N W(\kappa_N r_N, \kappa_N r_{N-1})} + \frac{\mu_{N+1} H_m^{(2)'}(\kappa_{N+1} r_N)}{\kappa_{N+1} H_m^{(2)}(\kappa_{N+1} r_N)} \right) f_N = 0. \quad (5) \end{aligned}$$

Полная линейная однородная система уравнений для  $2N$  неизвестных величин  $e_1, f_1, \dots, e_N, f_N$  состоит из двух уравнений (4),  $2(N-2)$ -х уравнений (3) для внутренних границ между слоями и двух уравнений (5) для последней границы. Матрица коэффициентов этой системы имеет в каждой строке 4 ненулевых элемента, при этом их взаимное расположение в разных строках таково, что в целом матрица системы оказывается пятидиагональной. При рассмотрении мод с  $m=0$  получаются две независимые трехдиагональные системы для величин  $e_1, \dots, e_N$  и  $f_1, \dots, f_N$ , что соответствует анализу  $TM_{0n}$  и  $TE_{0n}$  волн по отдельности.

Если рассматривается коаксиальный и(или) экранированный волновод, уравнения для первого и(или) последнего слоев следует изменить так, чтобы выполнялись граничные условия на металле. Эти формулы не приводятся из-за недостатка места.

Для расчета направляемой или вытекающей моды необходимо при заданном значении частоты найти такое значение  $\beta$  (или  $n_{ef}$ ), при котором детерминант матрицы обращается в нуль. Это делается численно путем поиска корней нелинейного уравнения в комплексной плоскости. Для вычисления детерминанта используются эффективные алгоритмы, развитые для ленточных матриц. Тесты показывают, что новая методика требует практически такое же время для расчетов, что и ММП, поскольку в обоих алгоритмах количество вычислений цилиндрических функций одинаково.



**Рис. 2.** Распределение показателя преломления по радиусу для брэгговского оптического волокна.  $R_{c0}$ ,  $n_{c0}$  — радиус и показатель преломления сердцевины,  $d_1$ ,  $d_2$ ,  $n_1$ ,  $n_2$  — толщины и показатели преломления периодически чередующихся слоев,  $R_{cl}$ ,  $n_{cl}$  — радиус и показатель преломления оболочки.

Проиллюстрируем результаты применения метода к расчету БВ. Используемые обозначения параметров для такого волновода и зависимость показателя преломления от радиуса  $n(r)$  изображены на рис. 2. Выбором параметров можно снизить радиационное затухание в БВ до величин порядка 0.1 dB/km, при этом  $\text{Im}n_{ef}/\text{Re}n_{ef} \sim 10^{-12}$  [3,6,7]. Расчет дисперсии с такой точностью представляет сложную задачу.

Рассмотрим две системы, на которых традиционно проверяется качество различных численных методов, применяемых для расчета брэгговских структур [9]. Параметры систем содержатся в табл. 1. Результаты расчета обеих систем данным методом и ММП приведены в табл. 2. Во всех случаях полученные результаты совпадают между собой с погрешностью до 1–2 единиц в последнем разряде.

Продemonстрируем теперь пример расчета системы, для которой ММП неустойчив, для чего рассмотрим волновод с большим значением показателя преломления сердцевины (High index core Bragg fiber) [12]. Сердцевина волновода изготовлена из кварцевого стекла и в нем могут распространяться замедленные волны ( $\text{Re}n_{ef} > 1$ ). Параметры системы 3 приведены в табл. 1. Количество слоев  $N$  в работе [12] не ука-

**Таблица 1.** Параметры брэгговских оптических волокон

System	$R_{c0}, \mu\text{m}$	$d_1, \mu\text{m}$	$d_2, \mu\text{m}$	$n_{c0}$	$n_1$	$n_2$	$n_{cl}$	$N$	$\lambda_0, \mu\text{m}$
1	1.3278	0.2133	0.346	1.0	1.49	1.17	1.49	16	1.0
2	5.0	1.0	1.0	1.0	2.0	1.0	2.0	16	$\frac{2\pi}{1.2}$
3	0.942	0.248	0.942	$n_{si}$	1.0	$n_{si}$	1.0	10	—

Примечание.  $N$  — число „периодов“ радиальной структуры,  $\lambda_0$  — длина волны в свободном пространстве,  $n_{si}$  — показатель преломления кварцевого стекла, рассчитываемый по формуле Зельмеера [13]. Остальные параметры пояснены на рис. 2.

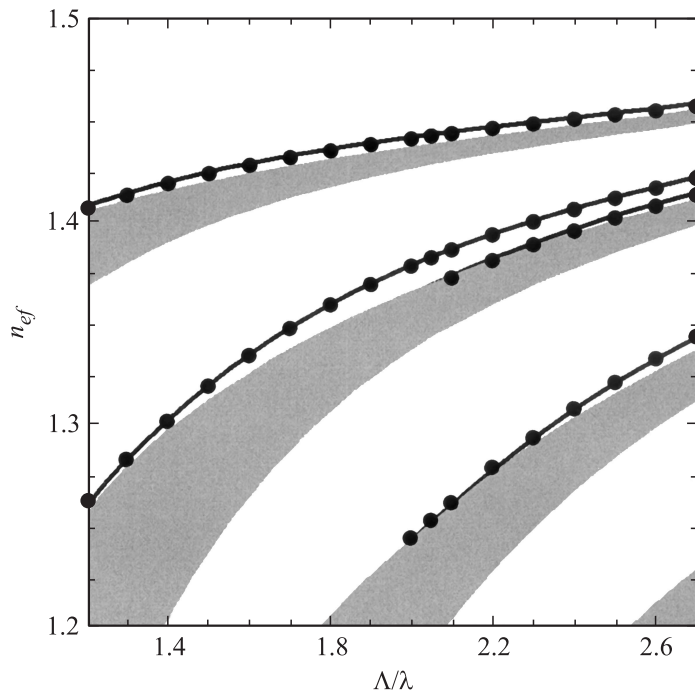
**Таблица 2.** Сравнение результатов, полученных методом матрицы передачи и предлагаемым методом при расчете БВ

System	Mode	$n_{ef}$ (ММП)	$n_{ef}$ (Present)
1	$TE_{01}$	0.8910672174666644- -j1.42260467e-8	08910672174666645- -j1.42260468e-8
	$TE_{02}$	0.7920859030756938- -j1.8193225814233e-3	0.7920859030756934- -j1.8193225814232e-3
	Hybrid mode ( $m = 1$ )	0.8055778810976933- -j1.7391462898144e-3	0.8055778810976933- -j1.7391462898145e-3
2	$TE_{01}$	0.7859095653682807- -j1.64451e-12	0.7859095653682807- -j1.64449e-12
	$TM_{01}$	0.5270473281828841- -j5.765511844e-7	0.5270473281828834- -j5.765511839e-7

Примечание. Подчеркнуты цифры, различающиеся в данных, полученных двумя методами.

зано, поэтому было выбрано значение  $N = 10$ , увеличение этого числа практически не меняет действительной части показателя преломления. Так как в [12] результаты приведены в графическом виде и только для  $\text{Re}n_{ef}$ , то для сопоставления такой выбор достаточен.

На рис. 3 показаны зависимости эффективного показателя преломления для нескольких азимутально-несимметричных мод ( $m = 1$ ) от безразмерной частоты  $\Lambda/\lambda_0$ , где  $\Lambda = d_1 + d_2 = 1.190 \mu\text{m}$ . Сплошные кривые на рисунке — результаты работы [12], точки — расчеты по новой методике. Налицо полное совпадение результатов. В то же



**Рис. 3.** Дисперсионные кривые для брэгговского волокна с сердцевинной из кварцевого стекла. Сплошные линии — данные из работы [12], точки — расчет предлагаемым методом. Серым цветом нанесены зоны прозрачности эквивалентного одномерного фотонного кристалла, образованного периодическим изменением показателя преломления в радиальном направлении.

время, если использовать ММП для расчета этой системы, уже при вычислении матрицы передачи для первого внешнего слоя появляется необходимость обращения почти сингулярной матрицы, и при дальнейшем перемножении матриц происходит потеря точности.

Приведенные примеры показывают эффективность нового метода расчета азимутально-симметричных слоистых электродинамических структур. Метод использовался также для исследования волноводов терагерцового диапазона на поверхностных плазменных модах, детали расчетов будут опубликованы в другом месте.



Работа поддержана грантами РФФИ № 06-02-16805 и 08-02-00621.

Автор благодарен А.Б. Маненкову за поддержку работы и критические замечания по тексту статьи и Л.В. Булгаковой за помощь в разработке программ.

## Список литературы

- [1] *Голант Е.И.* // Письма в ЖТФ. 2005. Т. 31. В. 24. С. 81–87.
- [2] *Веселов Г.И., Раевский С.Б.* Слоистые металло-диэлектрические волноводы. М.: Радио и связь, 1988.
- [3] *Мелехин В.Н., Маненков А.Б.* // ЖТФ. 1968. Т. 38. В. 12. С. 2113–2115.
- [4] *Themistos C., Rahman B.M.A., Rajarajan M.* et al. // Journal of Lightwave Technology. 2007. V. 25. N 9. P. 2456–2462.
- [5] *Yu R.J., Zhang B., Zhang Y.-Q.* et al. // IEEE Photonics Technology Letters. 2007. V. 19. N 12. P. 910–912.
- [6] *Yeh P., Yariv A.* // J. Opt. Soc. Am. 1978. V. 68. N 9. P. 1196–1201.
- [7] *Маненков А.Б., Мелехин В.Н.* // Радиотехника и электроника. 1979. Т. 24. № 7. С. 1282–1290.
- [8] *Ibanescu M., Fink Y., Fan S.* et al. // Science. 2000. V. 289. N 21. P. 415–419.
- [9] *Guo S., Albin S., Rogowski R.S.* // Optics express. 2004. V. 12. N 1. P. 198–207.
- [10] *Mayer A., Vigneron J.-P.* // Phys. Rev. E. 1999. V. 59. N 4. P. 4659–4666.
- [11] *Moharam M.G., Pommet D.A., Grann E.B.* // J. Opt. Soc. Am. 1995. V. 12. N 5. P. 1077–1086.
- [12] *Monsoriu J.A., Silvestre E., Ferrendo A.* et al. Optics Express. 2003. V. 11. N 12. P. 1400–1405.
- [13] *Агравал Г.* Нелинейная волоконная оптика. М.: Мир, 1996.